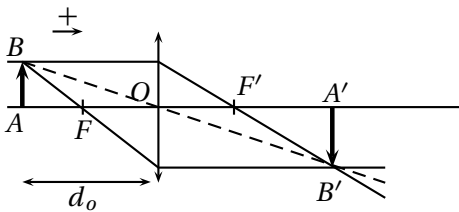


Interféromètre de Michelson

1. Optique géométrique

1.1. L'image est nette si la lentille est stigmatique et applanétique, dans la pratique il suffit qu'elle soit utilisée dans les conditions de Gauss c-à-d les rayons issus de AB sont peu inclinés par rapport à l'axe optique et proche du centre optique de  $L_o$ .

1.2. .



L'image est réelle renversée.

1.3. Les triangles  $(OA'B')$  et  $(OAB)$  sont semblables alors :  $\frac{A'B'}{OA'} = \frac{AB}{OA}$  et donc le grandissement transversal est :  $\gamma = \frac{A'B'}{AB} = \frac{OA'}{OA}$

$$\frac{A'B'}{A'F'} = \frac{AB}{OF'} \text{ or } \frac{A'B'}{AB} = \frac{OA'}{OA} \text{ alors : } \frac{OA'}{OA} = \frac{A'F'}{OF'}$$

$$\text{c-à-d : } \frac{OA'}{OA} = \frac{OF' - OA'}{OF'} \text{ d'où : } \frac{1}{OA'} - \frac{1}{OA} = \frac{1}{f'}$$

1.4. On note  $p = \overline{OA}$  et  $p' = \overline{OA'}$  ( $p < 0$  et  $p' > 0$ ) donc  $D = p' - p$  (distance positive) alors d'après la relation de conjugaison on a :

$$\frac{1}{p'} - \frac{1}{p} = \frac{1}{f'_o} \text{ c-à-d } \frac{1}{p'} - \frac{1}{p' - D} = \frac{1}{f'_o} \text{ soit :}$$

$$-Df'_o = p'(p' - D) \text{ et donc } p^2 - p'D + Df'_o = 0$$

dont le discriminant s'écrit par :  $\Delta = D^2 - 4Df'_o$  donc l'image existe si  $p'$  est réelle alors il faut pour cela que  $\Delta$  soit positive et donc  $f'_o \leq \frac{D}{4}$  (c'est la condition recherchée).

1.5. Si  $D = 1 \text{ m}$  alors  $f'_o \leq 25 \text{ cm}$ , la valeur usuelle de  $20 \text{ cm}$  convient largement.

2. Lampe à vapeur de mercure

2.1. Le spectre est discontinu car  $E = hv$  donc puisque l'énergie est discontinue alors les fréquences sont discontinues

2.2.  $\Delta E = E_3 - E_1 = hv_{3 \rightarrow 1} = \frac{hc}{\lambda_{3 \rightarrow 1}}$

2.3.  $\lambda_{3 \rightarrow 1} = \frac{hc}{E_3 - E_1} = \frac{6,63 \cdot 10^{-34} \times 3 \cdot 10^8}{(-2,72 + 4,99) \times 1,6 \cdot 10^{-19}}$   
 $\lambda_{3 \rightarrow 1} = 548 \text{ nm}$

2.4.  $\lambda_{3 \rightarrow 1} \in [400 \text{ nm}, 800 \text{ nm}]$  donc elle se situe dans le domaine visible.

3. Optique ondulatoire

3.1. Questions préliminaires

3.1.1. Une vibration lumineuse de nature vectorielle peut être représentée par une grandeur scalaire s'elle est non polarisée et s'elle est polarisée il faut que les rayons qui vont interférer aient le même état de polarisation

3.1.2. La différence de marche, en un point  $M$ , est :  $\delta(M) = (S_2M) - (S_1M)$

3.1.3. L'intensité lumineuse de la source  $i$  ( $i = 1, 2$ ) est :  $I_i(M) = \beta \langle \underline{a}_i(M, t) \cdot \underline{a}_i^*(M, t) \rangle_{\tau_r}$  c-à-d  $I_i(M) = \beta A_{oi}$ , où  $\beta$  est un coefficient de proportionnalité et  $\tau_r$  est un temps de réponse du récepteur utilisé.

En  $M$  la vibrations issue de  $S_i$  est :

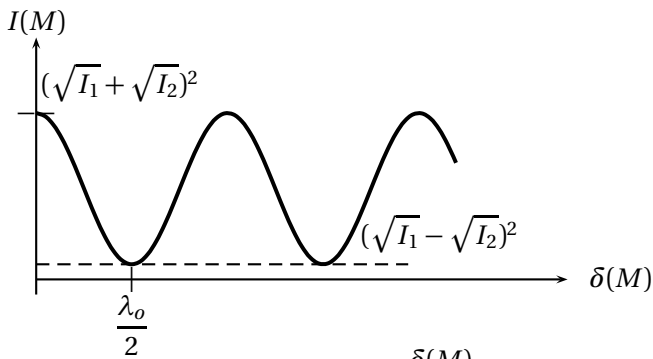
$\underline{a}_i(M, t) = A_o e^{j(\omega t - \vec{k} \cdot \vec{S}_i M)}$  donc :

$I(M) = \beta \langle (\underline{a}_1(M, t) + \underline{a}_2(M, t)) \cdot (\underline{a}_1(M, t) + \underline{a}_2(M, t))^* \rangle_{\tau_r}$

$I(M) = \beta [\langle a_1 \cdot a_1^* \rangle_{\tau_r} + \langle a_2 \cdot a_2^* \rangle_{\tau_r} + 2 \langle \Re(\underline{a}_1 \cdot \underline{a}_2^*) \rangle_{\tau_r}]$  finalement :

$I(M) = I_1 + I_2 + 2\sqrt{I_1 I_2} \cos(2\pi \frac{\delta(M)}{\lambda_o})$

### 3.1.4.



3.1.5.  $I_M$  correspond à  $\cos(2\pi \frac{\delta(M)}{\lambda_0}) = 1$  donc :

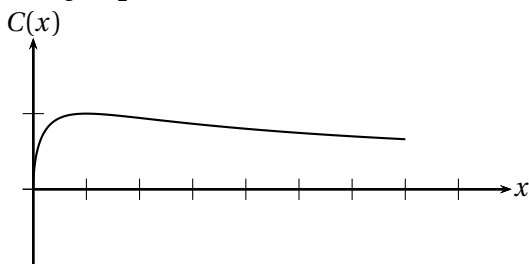
$$I_M = I_1 + I_2 + 2\sqrt{I_1 I_2} \text{ et } I_m \text{ correspond à } \cos(2\pi \frac{\delta(M)}{\lambda_0}) = -1 \text{ c-à-d : } I_M = I_1 + I_2 - 2\sqrt{I_1 I_2}.$$

Le contraste s'écrit donc :  $C = \frac{2\sqrt{I_1 I_2}}{I_1 + I_2}$ .

C peut se mettre sous la forme :

$$C = \frac{2I_1 \sqrt{\frac{I_2}{I_1}}}{I_1(1 + \frac{I_2}{I_1})} = \frac{2\sqrt{\frac{I_2}{I_1}}}{1 + \frac{I_2}{I_1}}$$

On pose  $x = \frac{I_2}{I_1}$  donc  $C = \frac{2\sqrt{x}}{1+x}$  donc quand  $x \rightarrow 0$  alors C tend vers 0 et quand  $x \rightarrow \infty$  alors  $C \rightarrow 0$  et donc C passe par un maximum défini par  $\frac{dC}{dx} = 0$  qui correspond à  $x = 1$  c-à-d :  $I_1 = I_2$ .



Lorsque les intensités sont différentes le contraste diminue

3.1.6. Lorsque  $I_1 = I_2$  le contraste est maximale est vaut 1

3.1.7. Lorsque les sources sont monochromatiques et différentes (donc elles sont non cohérentes) alors l'intensité est :

$$I(M) = I_1 + I_2$$

La méthode la plus facile d'obtenir des sources cohérentes est d'utiliser une même source primaire et de faire subir aux rayons deux chemins différents, on obtiendra alors interférence si  $\delta(M)$  est inférieur à la longueur de cohérence pour assurer la superposition de rayon ayant même train d'onde ou ayant une partie commune du même train d'onde.

3.1.8. L'ordre d'interférence est donnée par :

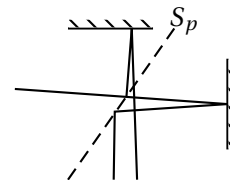
$$p(M) = \frac{\delta(M)}{\lambda_0}$$

Les applications possibles d'interférences lumineuses sont : mesure d'indice d'un milieu transparent, mesure de faibles épaisseur de lames transparentes ou mesure de longueur d'onde etc...

### 3.2. Description de l'interféromètre de Michelson réel

3.2.1. La présence de la lame séparatrice dans l'interféromètre le situe parmi les interféromètres à division d'amplitude car on division énergétique des faisceaux incidents

3.2.2. La séparatrice permet d'obtenir des rayons issus d'une même source et pouvant emprunter des chemins différents.

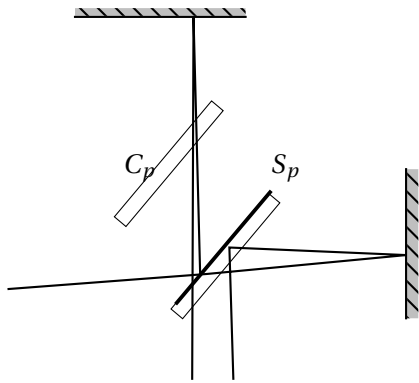


On a intérêt à choisir le coefficient de transmission égale à 50 % car on a besoin des rayons transmis et réfléchi à la fois et pour que les miroirs soient éclairés de la même façon.

⚠ Notez que même si le coefficient de réflexion était différent de 50 % on aura les intensités émergentes seront égales et donc les franges seront bien contrastées.

3.2.3. Lors de la traversée de la séparatrice la moitié de l'intensité incidente est transmise vers  $M_2$  puis les rayons réfléchis sur  $M_2$  subissent une réflexion sur  $S_p$  soit 25 % est réfléchi est 25 % retourne vers la région de la source et donc perdu et la même chose de côté du miroir  $M_1$  donc 50 % de l'intensité incidente est perdue.

3.2.4. La compensatrice permet de compenser le déphasage supplémentaire introduit par le fait que la séparatrice a une épaisseur non nulle.



Chaque rayon traverse la lame d'épaisseur non nulle trois fois et donc le déphasage se compense.

3.2.5. La lame  $V_a$  à l'entrée de l'interféromètre est une lame anti-calorique qui protège le miroir (surtout  $M_2$ ) d'un échauffement excessif lors des séances de TP.

3.3. Michelson éclairé par une source étendue

3.3.1. Le déphasage introduit par  $S_p$  est compensé par celui introduit par  $C_p$  donc dans l'étude théorique cela revient à supposer  $S_p$  s'épaisseur nulle

3.3.2. On commence par un réglage grossier de la perpendicularité des miroirs et le parallélisme de  $S_p$  et  $C_p$ , on rend  $C_p$  parallèle à  $S_p$  en les attaquant seules avec un faisceau laser, lorsque les tâches obtenues sont confondues alors elles sont parallèles, on ne touche plus au vis de réglage de  $C_p$ .

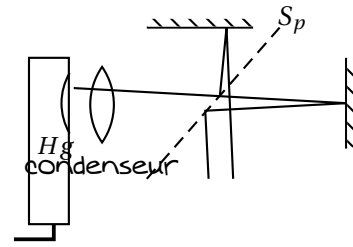
Après, on envoie le faisceau laser sur l'interféromètre, on obtient deux ensembles de tâches séparés et alignés, on agit ensuite sur les vis de réglage des miroirs pour faire superposer ces tâches dans ce cas l'interféromètre est réglé pour le laser, Pour la lumière de la lampe spectrale, on chariote  $M_2$  afin de se rapprocher du contact optique, on conjugue les franges localisées au niveau de  $M_1$ , avec une lentille convergente, avec un écran d'observation

3.3.3. Franges d'égale inclinaison

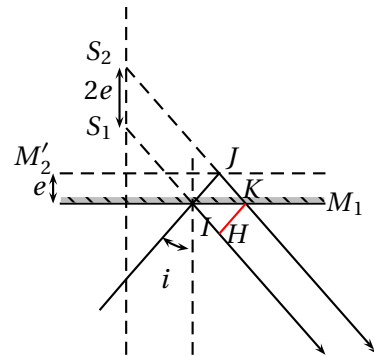
3.3.3.1.  $\lambda = 546,1 \text{ nm}$  dans le vide correspond à une couleur verte.

3.3.3.2. Pour obtenir des franges en égale inclinaison, l'interféromètre de Michelson doit être éclairé en lumière quasi parallèle en y parvient en utilisant un condenseur

comme proposé dans le schéma suivant :



3.3.3.3. Les franges sont localisées à l'infini car les rayons qui vont interférer sortent de l'interféromètre parallèles.



Les franges sont définies par  $p = \frac{\delta}{\lambda_0} = cte$  donc  $\overline{S_2M} - \overline{S_1M} = cte$  donc  $M$  est l'ensemble des hyperboloïdes d'axe de révolution  $S_1S_2$  par conséquent leur intersection avec le plan normale à  $S_1S_2$  donne des anneaux

3.3.3.4. Les ellipses obtenues au lieu des anneaux sont dues au non parallélisme parfait des lames séparatrice et compensatrice pour les rendre sous forme d'anneaux on agit sur les vis de réglages de  $C_p$  (⚠  $S_p$  étant fixe)

3.3.3.5. En utilisant le schéma précédent on a (l'indice étant égale à 1) :

$$\delta(M) = (SM)_2 - (SM)_1 = (SJM) - (SIM)$$

$$\delta(M) = \overline{SJ} + \overline{JM} - \overline{SI} - \overline{SM}, \text{ or } \overline{SI} = \overline{S_1I} \text{ car } S_1 \text{ est image de } S \text{ à travers } M_1 \text{ et } \overline{SJ} = \overline{S_2M} \text{ car } S_2 \text{ est image de } S \text{ par rapport à } M'_2$$

$$\text{donc : } \delta(M) = \overline{S_2J} + \overline{JM} - (\overline{S_1I} + \overline{IM}) \text{ finalement : } \delta(M) = \overline{S_2M} - \overline{S_1M} = (S_2M) - (S_1M)$$

3.3.3.6. Toujours en utilisant le schéma précédent on a :

$$\tan i = \frac{\overline{IK}}{e} \text{ et } \sin i = \frac{\overline{IH}}{\overline{IK}} \text{ et } \cos i = \frac{e}{\overline{IJ}}$$

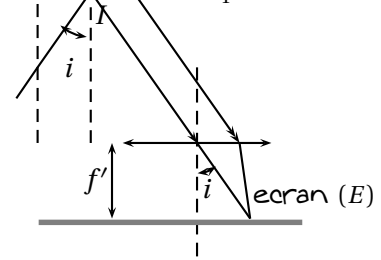
$$\text{donc } \delta(M) = \overline{IJ} + \overline{JK} - \overline{IH} \text{ (HM = KM d'après le théorème de Malus-Dupin) c-à-d}$$

$$\delta(M) = \frac{2}{\cos i} - 2e \frac{\sin^2 i}{\cos i} \text{ donc } \delta(M) = 2e \cos i$$



On peut aussi calculer  $\delta$  en partant de  $S_1$  et  $S_2$  séparée de  $2e$ , en effet : si  $H'$  est la projection de  $S_1$  sur le rayon  $S_2M$  donc  $\delta = S_2M - S_1M = S_2H' = 2e \cos i$  puisque  $H'M = S_1M$  d'après Malus-Dupin.

Les franges sont caractériser par  $p = \frac{\delta}{\lambda_0} = cte$  donc  $i = cte'$  d'où le nom de franges d'égale inclinaison



3.3.3.7. Appelons  $I'$  l'intensité lumineuse incidente sur l'interféromètre, à la traversé de  $S_p$  l'intensité est divisée par deux et puisque les rayons qui interfèrent traversent  $S_p$  deux fois chacun alors l'intensité émergeant de l'interféromètre est égale à  $\frac{I'}{4}$ .

L'intensité en un point  $M$  de la figure d'interférence est donnée par :

$$I(M) = \frac{I'}{4} + \frac{I'}{4} + 2\sqrt{\frac{I'}{4} \frac{I'}{4}} \cos(2\pi \times \frac{2e \cos(i)}{\lambda_0})$$

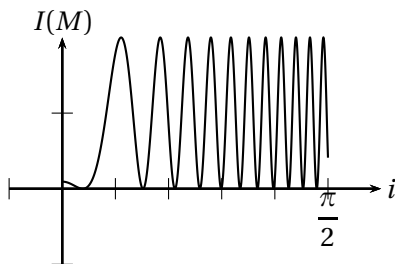
c-à-d :  $I(M) = \frac{I'}{2} (1 + \cos(\frac{4\pi e}{\lambda_0} \cos i))$

Donc en posant  $I_0 = \frac{I'}{2}$  on obtient :

$$I(M) = I_0 (1 + \cos(\frac{4\pi e}{\lambda_0} \cos i))$$

De ce qui précède on a  $I_0$  est la moitié de l'intensité incidente qui est encore la valeur moyenne de  $I(M)$ .

⚠ Si on utilise  $I_1$  et  $I_2$  on trouve que  $I_1 = I_2 = 2I_0$



Il faut noter que même si  $i < \frac{\pi}{2}$  la valeur de  $\frac{4\pi e}{\lambda_0} \cos i$  peut varier entre 0 et  $2k\pi$ ,  $k \in \mathbb{Z}$

Les rayons des anneaux se resserrent au delà du centre et ils ne sont pas régulièrement espacés.

### 3.3.3.8. .

3.3.3.9. Pour projeter les franges d'interférences on utilisera la lentille de grande focale car l'écran sera à quelques dizaines de centimètre de l'écran donc on choisira celle ayant  $f' = 1 \text{ m}$ .

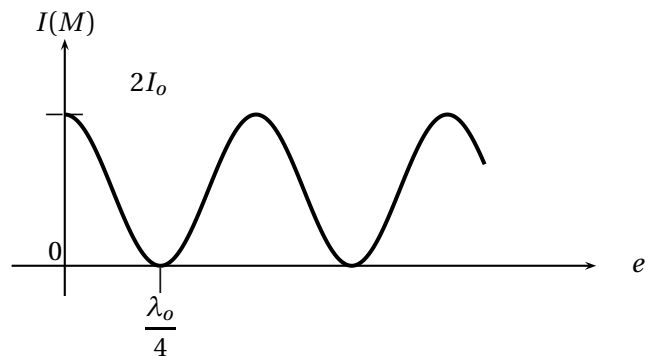
Pour l'enregistrement de l'intensité des franges on utilisera la lentille de focale  $f' = 20 \text{ cm}$  car l'intensité au centre diminue avec la distance si on utilise celle ayant  $f' = 1 \text{ m}$  et si on utilise celle ayant  $f' = 5 \text{ mm}$  les rayons captés sont faibles (monture faible) et l'encombrement augmente.

3.3.3.10. Au centre on a  $i = 0$  donc  $\delta = 2e$  alors l'ordre d'interférence est  $p_0 = \frac{2e}{\lambda_0}$

$$p_0 = \frac{2 \times 1,5 \cdot 10^{-3}}{546,1 \cdot 10^{-9}} = 5493,5$$

L'ordre est au centre est demi-entier fractionnaire donc la frange au centre est sombre.

3.3.3.11. L'intensité lumineuse passe d'un maximum à un minimum, au centre, lorsque  $\cos \frac{2\pi}{\lambda_0} \delta$  passe de 1 à -1 donc lorsque  $\frac{4\pi e}{\lambda_0}$  passe de  $2n\pi$  à  $(2n+1)\pi$ , c-à-d :  $e$  passe de  $\frac{n\lambda_0}{2}$  à  $\frac{n\lambda_0}{2} + \frac{\lambda_0}{4}$  donc lorsque  $M_2$  se déplace de  $\frac{\lambda_0}{4}$ .



Le miroir ne peut pas être charioté indéfiniment tout d'abord pour des raisons simples de fabrication mais surtout car quand  $e$  augmente les franges disparaissent puisque  $\delta$  devient supérieur à la longueur de cohérence.

3.3.3.12. Au voisinage de l'incidence normale  $i$  est faible donc  $\cos i = 1 - \frac{i^2}{2}$  et  $\sin i \approx \tan i \approx i$ . L'ordre en un point  $M$  de l'anneau de rayon  $R_k$  est :

$$p = \frac{2e \cos i}{\lambda_0} = \frac{2e}{\lambda_0} \left(1 - \frac{i^2}{2}\right) \text{ or } \tan i = i = \frac{R_k}{f'}$$

d'autre part :

L'ordre au centre  $p_0$  est demi entier fractionnaire, la frange centrale est donc sombre alors l'ordre du premier anneau brillant, de rayon  $R_1$ , est  $p_0 - 0,5$  celui de deuxième rayon  $R_2$  est  $p_0 - 0,5 - 1$  et ainsi de suite, alors :

l'ordre de rayon  $R_k$  est  $p = p_0 - 0,5 - (k - 1)$

$$p = p_0 \left(1 - \frac{R_k^2}{2f'^2}\right) \text{ donc :}$$

$$R_k = \sqrt{2}f' \sqrt{1 - \frac{p}{p_0}} = \sqrt{2}f' \sqrt{1 - \frac{p_0 - 0,5 - (k - 1)}{p_0}}$$

$$\text{finalement : } R_k = \sqrt{2}f' \sqrt{\frac{k - 0,5}{p_0}}$$

3.3.3.13. Pour l'anneau de rayon  $R_{k+1}$  l'ordre

est  $p - 1$  (L'ordre est maximale au centre et donc diminue au delà du centre).

$$R_{k+1} = \sqrt{2}f' \sqrt{1 - \frac{p-1}{p_0}} \text{ et } R_k = \sqrt{2}f' \sqrt{1 - \frac{p}{p_0}}$$

$$\text{donc : } R_{k+1}^2 - R_k^2 = f'^2 \frac{\lambda_0}{e} \quad (p_0 = \frac{2e}{\lambda_0})$$

3.3.3.14. Pour une frange donnée l'ordre est

$$\text{constant } p = 2e \frac{\cos i}{\lambda_0} = \text{cte} \text{ donc si les anneaux défilent vers le centre, } i \text{ diminue}$$

alors  $\cos i$  augmente donc  $e$  diminue, dans ce cas les rayons des anneaux diminuent, c'est normal puisque l'anneau considéré défile vers le centre, si on raisonne sur le  $k^{\text{ieme}}$  anneau de rayon  $R_k$ , ce dernier augmente et le nombre d'anneau observés diminue et d'après la relation de la question précédente, les anneaux deviennent plus larges quand  $e$  diminue.

3.3.3.15. Le contact optique correspond à

$OO_1 = OO_2$  c-à-d que les miroirs  $M_1$  et  $M_2$  sont perpendiculaire et à égale distance de centre de la séparatrice  $S_p$  (donc  $e = 0$ ).

Pour atteindre le contact optique on chariote  $M_2$  dans le sens où les franges défilent vers le centre, le contact optique est alors atteint quand l'écran devient uniforme.

3.3.3.16. La lumière blanche permet de réaliser

le contact optique d'une façon plus précise car sa longueur de cohérence,  $\ell_c$  est faible et donc pour avoir interférence il faut que  $\delta < \ell_c$  alors leur disparition correspond à  $\delta \rightarrow 0$  d'une manière la plus précise possible.

$$3.3.3.17.1. I(M) = I_0 \left(1 + \cos \frac{2\pi\delta}{c} v\right)$$

3.3.3.17.2. On pose  $\tau = \frac{\delta}{c}$  donc :

$$I(M) = I_0 (1 + \cos 2\pi v \tau)$$

$\tau$  est donc le temps séparant deux trains d'onde des deux rayons qui interfèrent empruntant deux chemins différents

$$3.3.3.17.3. dI(\tau) = I_{ov} (1 + \cos 2\pi v \tau) dv$$

3.3.3.17.4. Le terme  $e^{-\frac{E}{k_B T}}$  est appelé facteur de Boltzmann

$$3.3.3.17.5. E = \frac{1}{2} m V^2 \text{ donc } P(E) = P_0 e^{-\frac{mV^2}{2k_B T}}$$

3.3.3.17.6. D'après la formule "Doppler"

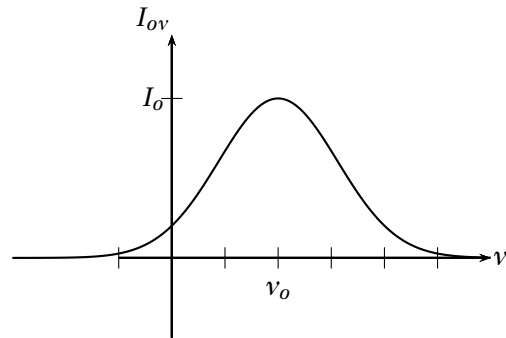
$$V = c \left(\frac{v - v_0}{v_0}\right) \text{ donc :}$$

$$P(E) = P_0 e^{-\frac{mc^2 (v - v_0)^2}{2k_B T v_0^2}} \text{ et par proportionnalité}$$

$$I_{ov} = I_0 e^{-\frac{mc^2 (v - v_0)^2}{2k_B T v_0^2}} \text{ qu'on peut écrire par :}$$

$$I_{ov} = I_0 e^{-\frac{(v - v_0)^2}{a^2}} \text{ où } a^2 = \frac{2k_B T v_0^2}{mc^2}$$

3.3.3.17.6. La courbe représentant  $I_{ov} = f(v)$  est :



3.3.3.17.7. La largeur à mi-hauteur  $\Delta v$  est donnée par  $\Delta v = v_2 - v_1$  telle que  $v_1$  et  $v_2$

$$\text{sont solution de } I_{ov}(v) = \frac{I_{ovmax}}{2}$$

$$I_{ovmax} = I_0 \text{ elle correspond à } v = v_0$$

$$\text{donc : } I_{ov}(v) = \frac{I_0}{2} \text{ c-à-d :}$$

$$(v - v_0)^2 = a^2 \ln 2, \text{ ce qui donne :}$$

$$v_2 - v_0 = a \sqrt{\ln 2} \text{ et } v_1 - v_0 = -a \sqrt{\ln 2}$$

$$\text{donc : } \Delta v = 2a \sqrt{\ln 2}$$

Application numérique :

$$a = \sqrt{\frac{2k_B T v_0^2}{mc^2}} \text{ donc } \Delta v = 2 \sqrt{\frac{2k_B T v_0^2 \ln 2}{mc^2}} \text{ et}$$

$$\text{puisque } M = \mathcal{N}_A m \text{ et } v_0 = \frac{c}{\lambda_0} \text{ alors :}$$

$$\Delta v = 2 \sqrt{\frac{2 \mathcal{N}_A k_B T \ln 2}{M \lambda_0^2}}$$

$$\Delta v = 2 \sqrt{\frac{2 \times 6,02 \cdot 10^{23} \times 1,38 \cdot 10^{-23} \times 500 \times \ln 2}{200,6 \cdot 10^{-3} \times (546,1 \cdot 10^{-9})^2}}$$

$$\Delta v =$$

3.3.3.17.8. On a :  $dI(\tau) = I_{ov} (1 + \cos 2\pi v \tau) dv$  donc :

$$I(\tau) = \int_{-\infty}^{+\infty} I_0 e^{-\frac{(v - v_0)^2}{a^2}} (1 + \cos 2\pi v \tau) dv$$

$$I(\tau) = \int_{-\infty}^{+\infty} I_0 e^{-\frac{(v - v_0)^2}{a^2}} dv + \int_{-\infty}^{+\infty} I_0 e^{-\frac{(v - v_0)^2}{a^2}} \left(\frac{e^{j2\pi v \tau} + e^{-j2\pi v \tau}}{2}\right) dv$$

Pour utiliser l'intégral donnée par le texte faisons le changement de variable suivant :

$u = v - v_0$  et  $a = b$  c-à-d  $dv = du$  donc :

$$I(\tau) = \int_{-\infty}^{+\infty} I_0 e^{-\frac{u^2}{a^2}} du + \int_{-\infty}^{+\infty} \frac{I_0}{2} e^{-\frac{u^2}{a^2}} e^{j2\pi v \tau} du + \int_{-\infty}^{+\infty} \frac{I_0}{2} e^{-\frac{u^2}{a^2}} e^{-j2\pi v \tau} du$$

le premier terme correspond à  $x=0$  donc :

$$\int_{-\infty}^{+\infty} I_0 e^{-\frac{u^2}{a^2}} du = b\sqrt{\pi} = a\sqrt{\pi}$$

Les deux derniers termes peuvent se mettre, en remplaçant  $v$  par  $u + v_0$ , sous la forme :

$$\int_{-\infty}^{+\infty} \frac{I_0}{2} e^{-\frac{u^2}{a^2}} e^{j2\pi v \tau} du = \int_{-\infty}^{+\infty} \frac{I_0}{2} e^{-\frac{u^2}{a^2}} e^{j2\pi u \tau} e^{j2\pi v_0 \tau} du = e^{j2\pi v_0 \tau} \times a\sqrt{\pi} \times e^{-\pi^2 a^2 \tau^2}$$

De même :

$$\int_{-\infty}^{+\infty} \frac{I_0}{2} e^{-\frac{u^2}{a^2}} e^{j2\pi v \cdot (-\tau)} du = \int_{-\infty}^{+\infty} \frac{I_0}{2} e^{-\frac{u^2}{a^2}} e^{j2\pi u \cdot (-\tau)} e^{-j2\pi v_0 \tau} du = e^{-j2\pi v_0 \tau} \times a\sqrt{\pi} \times e^{-\pi^2 a^2 \cdot (-\tau)^2} = e^{-j2\pi v_0 \tau} \times a\sqrt{\pi} \times e^{-\pi^2 a^2 \tau^2}$$

finalement :

$$I(\tau) = a\sqrt{\pi} + a\sqrt{\pi} \cdot e^{-\pi^2 a^2 \tau^2} \cdot \frac{e^{j2\pi v_0 \tau}}{2} + a\sqrt{\pi} \cdot e^{-\pi^2 a^2 \tau^2} \cdot \frac{e^{-j2\pi v_0 \tau}}{2}$$

donc :

$$I(\tau) = a\sqrt{\pi}(1 + e^{-\pi^2 a^2 \tau^2} \cdot \cos(2\pi v_0 \tau))$$